

# ОБРАБОТКА ИЗОБРАЖЕНИЙ

## КОЛЬЦЕВОЕ ПРЕОБРАЗОВАНИЕ РАДОНА

*В.В. Котляр, А.А. Ковалев*

*Институт систем обработки изображений РАН,  
Самарский государственный аэрокосмический университет*

### *Аннотация*

Рассмотрено интегральное преобразование, названное кольцевым преобразованием Радона (КПР) и являющееся обобщением преобразования Радона на случай, когда интегрирование происходит не по прямой линии, а по окружности определенного радиуса. Радиус окружности является параметром преобразования. Получены выражения для КПР некоторых конкретных функций. Выведены соотношения для получения образа объекта при его сдвиге и масштабировании. Приведена оптическая схема для выполнения КПР.

### *Введение*

Преобразование Радона (иногда его называют преобразованием Хоу (Hough)) широко используется в обработке изображений, геодезии, медицине, компьютерной томографии [1-4]. Двумерное преобразование Радона (ПР) определяется следующим образом:

$$R[f](c, \varphi) = \iint_{R^2} f(x, y) \delta(c - x \cos \varphi - y \sin \varphi) dx dy, \quad (1)$$

где  $\rho, \varphi$  – полярные координаты, описывающие прямую:  $\rho$  – расстояние от начала координат до прямой,  $\varphi$  – угол наклона прямой к оси  $Ox$ .

Обратное преобразование Радона можно получить в виде:

$$f(x, y) = \frac{1}{2p^2} \int_0^{2p} \int_{-\infty}^{\infty} \frac{\partial}{\partial c} R[f](c, \varphi) dc d\varphi. \quad (2)$$

Преобразование Радона во многом аналогично преобразованию Фурье (ПФ). Если ПФ раскладывает комплексную амплитуду света (двумерную функцию) по плоским волнам (по Фурье-гармоникам), то ПР «раскладывает» функцию по прямым линиям. Оба преобразования не являются сверткой и выполняются с помощью сферической линзы (для ПФ) и сферической линзы и фазового пространственного фильтра (для ПР) [5-7]. Поэтому для ПФ и ПР выполняется теорема Парсеваля, физически означающая выполнение закона сохранения световой энергии при распространении через сферическую линзу и фазовый фильтр. Как ПФ преобразует плоскую волну в фокальную точку, так и ПР преобразует прямую линию на изображении в точку. Но есть и отличия, например, ПФ переводит точку в плоскую волну, но ПР переводит точку в один период синусоиды [5].

В скалярной оптике наряду с ПФ известны и другие интегральные преобразования – преобразования Кирхгофа и Френеля. Их физический смысл заключается в разложении функции комплексной амплитуды, описывающей распространение света, по сферическим (преобразование Кирхгофа) и параболическим (преобразование Френеля) волнам. Можно по аналогии между ПФ и ПР определить кольцевое преобразование Ра-

дона (КПР), которое будет свертывать изображение с окружностями определенного радиуса и параболическое преобразование Радона (ППР), которое свертывает изображение с параболой. Эти преобразования КПР и ППР, как и преобразование Кирхгофа (ПК) и преобразование Френеля (ПФР), должны быть интегралами свертки. При стремлении радиуса окружности КПР к нулю, преобразование стремится к тождественному, а при стремлении радиуса окружности к бесконечности КПР переходит в обычное ПР.

Преобразование свертки можно оптически выполнить с помощью Фурье-коррелятора с пространственным фильтром, функция пропускания которого равна Фурье-образу от функции ядра свертки. Для случая КПР функцией ядра свертки является функция, описывающая окружность или бесконечно узкое кольцо (поэтому и преобразование называется кольцевым). Фурье-образ функции кольца – это функция Бесселя нулевого порядка. Поэтому функция пропускания пространственного фильтра Фурье-коррелятора для выполнения КПР должна быть пропорциональна функции Бесселя нулевого порядка. Так как функция пропускания фильтра – амплитудная, то закон сохранения энергии для проходящего света не выполняется.

В данной работе рассмотрены основные свойства КПР; получены выражения для КПР некоторых простых функций; приводятся результаты численного моделирования обработки изображений с помощью КПР.

Так как КПР от функции точечного источника есть функция бесконечно узкого кольца, то можно считать, что КПР описывает оптическую систему с кольцевым импульсным откликом. Это обстоятельство указывает на тесную связь между КПР и мезооптикой, так как мезооптический объектив – это объектив с кольцевым импульсным откликом [8]. Отличие состоит в том, что в мезооптике в Фурье-корреляторе в качестве пространственного фильтра используется конический аксикон.

## **1. Основные свойства КПР**

### *1.1. Определение*

Введем в рассмотрение линейное интегральное преобразование комплексной двумерной функции, являющейся сверткой с обобщенной  $\delta$ -функцией Дирака:

$$R_z(a, z) = \iint_{R^2} f(x, y) \delta\left(z - \sqrt{(x-a)^2 + (y-z)^2}\right) dx dy, \quad (3)$$

где  $\gamma$  – радиус окружности.

В полярных координатах вместо (3) можно записать:

$$R_z(c, u) = \int_0^{2p} \int_0^\infty \delta(z-r) \times \quad (4)$$

$$\times f(r \cos \varphi + c \cos u, r \sin \varphi + c \sin u) \cdot r dr d\varphi$$

$$R_z(c, u) = z \int_0^{2p} f(z \cos \varphi + c \cos u, z \sin \varphi + c \sin u) d\varphi. \quad (5)$$

### 1.2. Вычисление КПП через БПФ

Так как КПП является сверткой, то его можно выразить через преобразования Фурье и вычислять с помощью алгоритма быстрого преобразования Фурье (БПФ).

Выразим преобразуемую функцию через ее Фурье-образ:

$$f(x, y) = \frac{1}{(2p)^2} \iint_{R^2} F(o, z) \exp(i(xo + yz)) do dz, \quad (6)$$

где  $F(\xi, \eta)$  – Фурье-образ функции  $f(x, y)$ .

Фурье-образ радиальной  $\delta$ -функции из уравнения (3) пропорционален функции Бесселя нулевого порядка:

$$\begin{aligned} D(o, z) &= \iint_{R^2} \delta\left(z - \sqrt{x^2 + y^2}\right) \exp[-i(xo + yz)] do dz = \\ &= \int_0^{2p} \int_0^\infty \delta(z-r) \exp[-irc \cos(\varphi - u)] r dr d\varphi = \\ &= z \int_0^{2p} \exp[-izc \cos(\varphi - u)] d\varphi = 2pz J_0(zc), \end{aligned} \quad (7)$$

где  $J_0$  – функция Бесселя.

Из уравнения (7) следует, что преобразование Фурье-Бесселя (или преобразование Ханкеля нулевого порядка) от функции Бесселя нулевого порядка пропорционально радиальной  $\delta$ -функции:

$$\delta(z - c) = z \int_0^\infty J_0(zc) J_0(rc) c dc. \quad (8)$$

Тогда из уравнения (3) с учетом (6) и (7) получим представление КПП в виде обратного преобразования Фурье:

$$\begin{aligned} R(a, z) &= \frac{1}{(2p)^2} \iint_{R^2} F(x, y) \times \\ &\times 2pz J_0\left(z\sqrt{x^2 + y^2}\right) \exp[i(xo + yz)] dx dy \end{aligned} \quad (9)$$

Чтобы вычислить КПП через БПФ по формуле (9) требуется вычислить Фурье-образ  $F(x, y)$  исходной функции  $f(\xi, \eta)$ , умножить его на функцию Бесселя  $J_0\left(\gamma\sqrt{x^2 + y^2}\right)$  и вычислить обратное ПФ.

В полярных координатах уравнение (9) имеет вид:

$$R(c, u) = \frac{z}{2p} \iint_{R^2} F(r, \varphi) \times \quad (10)$$

$$\times J_0(zr) \exp[irc \cos(\varphi - u)] r dr d\varphi$$

Если исходная функция радиально-симметричная, т.е.  $f(\xi, \eta) = f(\rho)$ , то уравнение (10) примет вид:

$$R(c) = z \int_0^\infty F(r) J_0(zr) J_0(rc) r dr. \quad (11)$$

Из уравнения (11) следует, что КПП-образ радиальной функции – радиальная функция.

### 1.3. Обратное кольцевое преобразование Радона

Из уравнения (9) можно получить обратное преобразование КПП.

Обозначим Фурье-образ от двумерной функции кольцевого преобразования Радона:

$$\tilde{K}(x, y) = \iint_{R^2} R(o, z) \times \quad (12)$$

$$\times \exp[-i(xo + yz)] do dz$$

Тогда из уравнения (9) следует связь Фурье-образов исходной функции и КПП

$$F(x, y) = \frac{\tilde{K}(x, y)}{2pz J_0\left(z\sqrt{x^2 + y^2}\right)}. \quad (13)$$

Из уравнения (13) получается обратное КПП:

$$f(x, y) = \frac{1}{(2p)^2} \iint_{R^2} \frac{\tilde{K}(o, z) \exp[i(xo + yz)]}{2pz J_0\left(z\sqrt{o^2 + z^2}\right)} do dz. \quad (14)$$

Из уравнения (14) следует, что обратное преобразование КПП есть преобразование Фурье от сингулярной функции, которая обращается в бесконечность в нулях функции Бесселя. Для корректного вычисления интеграла в уравнении (14) следует применять метод регуляризации Тихонова.

### 1.4. Смещение объекта

Пусть  $R_\gamma(\xi, \eta)$  – КПП-образ функции  $f(x, y)$ . Тогда КПП-образ от той же функции, но сдвинутой на вектор с координатами  $(a, b)$ , будет иметь вид

$$\begin{aligned} \tilde{R}_z(a, z) &= \iint_{R^2} f(x-a, y-b) \times \\ &\times \delta\left(z - \sqrt{(x-a)^2 + (y-b)^2}\right) dx dy = \iint_{R^2} f(b, v) \times \\ &\times \delta\left(z - \sqrt{[b-(o-a)]^2 + [v-(z-b)]^2}\right) db dv = \\ &= R_z(o-a, z-b). \end{aligned} \quad (15)$$

Из (15) следует, что смещение функции приводит к аналогичному смещению КПП-образа.

### 1.5. Масштабирование объекта

Пусть  $R_\gamma(\xi, \eta)$  – КПП-образ функции  $f(x, y)$ . Тогда КПП-образ от той же функции, но масштабной измененной с коэффициентом  $\alpha$ , будет иметь вид

$$\begin{aligned}
\tilde{R}_z(o, z) &= \iint_{R^2} f(\bar{o}x, \bar{o}y) \delta\left(z - \sqrt{(x-o)^2 + (y-z)^2}\right) dx dy = \\
&= \iint_{R^2} f(A, B) \delta\left(z - \frac{\sqrt{(A-\bar{o}o)^2 + (B-\bar{o}z)^2}}{\bar{o}}\right) \frac{dAdB}{\bar{o}^2} = \\
&= \iint_{R^2} f(A, B) \delta\left(\bar{o}z - \sqrt{(A-\bar{o}o)^2 + (B-\bar{o}z)^2}\right) \frac{dAdB}{\bar{o}} = \\
&= \frac{1}{\bar{o}} R_{\bar{o}z}(\bar{o}o, \bar{o}z)
\end{aligned} \tag{16}$$

Из уравнения (16) следует, что изменение масштаба объекта (сжатие или расширение) приводит к аналогичному изменению масштаба и параметра  $\gamma$  КПР-образа.

## 2. КПР некоторых функций

### 2.1. Преобразование точки

Пусть исходная функция представляет собой точечный импульс в начале координат, описывающий точечный источник света,  $f(x, y) = \delta(x)\delta(y)$ . Тогда из уравнения (3) следует, что КПР-образ этой функции есть бесконечно узкое кольцо:

$$\begin{aligned}
R(o, z) &= \iint_{R^2} \delta(x)\delta(y) \delta\left(z - \sqrt{(x-o)^2 + (y-z)^2}\right) dx dy = \\
&= \delta\left(z - \sqrt{o^2 + z^2}\right)
\end{aligned} \tag{17}$$

На рис. 1 показана оптическая схема для выполнения КПР. Показан Фурье-коррелятор, состоящий из двух сферических линз и амплитудного пространственного фильтра, функция пропускания которого есть функция Бесселя нулевого порядка, расстояния от плоскости объекта до линзы, от линзы до фильтра, от фильтра до второй линзы и от второй линзы до плоскости КПР-образа равны фокусному расстоянию обеих линз.

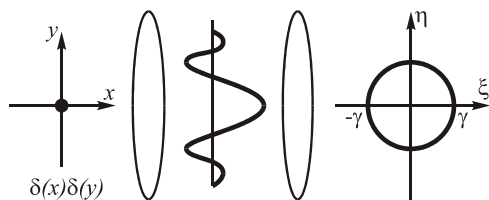


Рис. 1. КПР-образ точки есть кольцо

### 2.2. Преобразование линии

Пусть исходная функция описывает прямую линию, совпадающую с осью  $x$ , то есть  $f(x, y) = \delta(y)$ , тогда ее Фурье-образ также будет прямой линией, совпадающей с осью  $\eta$ :  $F(\xi, \eta) = \delta(\xi)$ . Далее с учетом уравнения (9) получим:

$$\begin{aligned}
R(x, y) &= \frac{z}{2p} \iint_{R^2} \delta(o) J_0\left(z\sqrt{o^2 + z^2}\right) \exp[i(x\xi + y\eta)] d\odot dz = \\
&= \frac{z}{2p} \int_{-\infty}^{+\infty} J_0(z|z|) \exp(iy\eta) dz \stackrel{м.к. J_0 - \text{четная}}{=}
\end{aligned}$$

$$\begin{aligned}
&= \frac{z}{2p} \int_{-\infty}^{+\infty} J_0(zz) \exp(iy\eta) dz = \\
&= \frac{\gamma}{(2\pi)^2} \int_{-\infty}^{+\infty} \int_0^{2\pi} \exp[-i\gamma\eta \cos\phi] \exp(iy\eta) d\phi d\eta = \\
&= \frac{\gamma}{(2\pi)^2} \int_0^{2\pi} \delta(\gamma \cos\phi - y) d\phi = \\
&= \frac{2z}{2p} \int_0^p \delta(z \cos\phi - y) d\phi \stackrel{\cos\phi=t}{=} \frac{z}{p} \int_{-1}^1 \frac{\delta(zt - y) dt}{\sqrt{1-t^2}} = \\
&= \frac{1}{p} \int_{-1}^1 \frac{\delta\left(t - \frac{y}{z}\right) dt}{\sqrt{1-t^2}} = \frac{1}{p} \frac{1}{\sqrt{z^2 - y^2}}, \gamma > y. \tag{18}
\end{aligned}$$

Если  $\gamma < y$ , то интеграл равен нулю.

Из уравнения (18) следует, что

$$\begin{aligned}
\frac{z}{2p} \iint_{R^2} \delta(o) J_0\left(z\sqrt{o^2 + z^2}\right) \exp[i(xo + yz)] d\odot dz = \\
= \frac{1}{p} \frac{1}{\sqrt{z^2 - y^2}}
\end{aligned} \tag{19}$$

Из уравнения (19) следует, что прямая линия переходит в две параллельные линии, параллельные также исходной линии, лежащей на оси  $x$  (рис. 2).

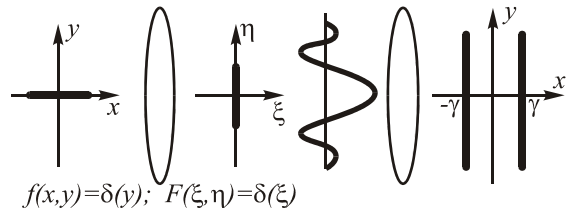


Рис. 2. КПР-образ линии есть две параллельные линии

### 2.3. Преобразование наклонной плоской волны

Пусть исходной функцией является плоская волна (или Фурье-гармоника):

$$f(x, y) = \exp(i\alpha x), \tag{20}$$

которая наклонена только к одной оси  $x$ .

Тогда КПР-образ такой функции будет иметь вид:

$$\begin{aligned}
R(c, u) &= z \int_0^{2p} f(z \cos\phi + c \cos u) d\phi = \\
&= \gamma \int_0^{2\pi} \exp(i\alpha\gamma \cos\phi) \exp(i\alpha p \cos\theta) d\phi = \\
&= 2p\gamma \exp(i\alpha c \cos u) J_0(\alpha z) = 2p\gamma J_0(\alpha z) \exp(i\alpha \xi). \tag{21}
\end{aligned}$$

Из уравнения (21) следует, что плоская волна  $e^{i\alpha x}$  переходит в плоскую волну  $(2p\gamma J_0(\alpha\gamma)) \exp(i\alpha \xi)$ , также наклоненную только к одной оси  $\xi$ , которая параллельна оси  $x$ , то есть КПР сохраняет величину и направление наклона плоской волны, изменяя только

амплитуду. Если  $\alpha\gamma$  – корень функции Бесселя, то плоская волна не проходит через оптическую систему на рис. 1, так как ее амплитуда на выходе равна нулю.

#### 2.4. Преобразование периодической функции

Пусть на входе в оптическую систему на рис. 1 имеется световое поле, комплексная амплитуда которого есть периодическая функция:

$$f(x, y) = \sum_{n=-\infty}^{+\infty} c_n \exp[i(\bar{\theta}_n x + \bar{\epsilon}_n y)], \quad (22)$$

тогда на выходе оптической системы на рис. 1 появится световое поле, комплексная амплитуда которого есть КПП-образ от функции (22):

$$\begin{aligned} R(c, u) &= z \int_0^{2p} f(z \cos \varphi + c \cos u, z \sin \varphi + c \sin u) d\varphi = \\ &= z \sum_{n=-\infty}^{+\infty} c_n \int_0^{2p} \exp[i\bar{\theta}_n (z \cos \varphi + c \cos u)] \times \\ &\times \exp[i\bar{\epsilon}_n (z \sin \varphi + c \sin u)] d\varphi = \\ &= z \sum_{n=-\infty}^{+\infty} c_n \exp[i(\bar{\theta}_n c \cos u + \bar{\epsilon}_n c \sin u)] \times \\ &\times \int_0^{2p} \exp[i(\bar{\theta}_n z \cos \varphi + \bar{\epsilon}_n z \sin \varphi)] d\varphi = \\ &= 2p z \sum_{n=-\infty}^{+\infty} c_n J_0 \left( z \sqrt{\bar{\theta}_n^2 + \bar{\epsilon}_n^2} \right) \exp[i(\bar{\theta}_n c \cos u + \bar{\epsilon}_n c \sin u)] = \\ &= 2p z \sum_{n=-\infty}^{+\infty} \tilde{c}_n \exp[i(\bar{\theta}_n c \cos u + \bar{\epsilon}_n c \sin u)]. \end{aligned} \quad (23)$$

Из уравнения (23) следует, что КПП переводит периодическую функцию в другую периодическую функцию с тем же периодом.

В частности, КПП сохраняет косинус (или синус):

$$f(x) = \cos ux = \frac{\exp(i\omega x) + \exp(-i\omega x)}{2}, \quad (24)$$

$$\begin{aligned} R(\omega, z) &= 2p z J_0(z\omega) \frac{\exp(i\omega z) + \exp(-i\omega z)}{2} = \\ &= 2p z J_0(z\omega) \cos \omega z. \end{aligned} \quad (25)$$

Заметим, что если  $\gamma\omega$  – корень функции Бесселя, то  $R \equiv 0$ .

#### 2.5. Преобразование окружности

Пусть исходной функцией является бесконечно узкое кольцо или окружность:

$$f(x, y) = \delta \left( R - \sqrt{x^2 + y^2} \right), \quad (26)$$

$R$  – радиус кольца.

Фурье-образ функции (26) есть функция Бесселя:

$$F(c) = 2p \int_0^{\infty} \delta(R-r) J_0(rc) r dr = 2p R J_0(Rc), \quad (27)$$

а КПП-образ радиальной функции можно вычислить с помощью уравнения (11):

$$R(c) = \frac{z}{2p} 2p R \int_0^{\infty} J_0(Rr) J_0(zr) J_0(rc) r dr \quad (28)$$

Интеграл (28) можно найти в справочнике [9]:

$$\int_0^{\infty} J_0(ax) J_0(bx) J_0(cx) x dx = \begin{cases} 0, c < |a-b|, \\ 0, c > a+b, \\ \frac{1}{pab} (1-r^2)^{-1/2} |a-b| < c < a+b; \end{cases} \quad (29)$$

$$\text{где } r = \frac{a^2 + b^2 - c^2}{2ab}.$$

В нашем случае из формулы (29) следует:

$$R(c) = \begin{cases} 0, c < |z-R|, \\ 0, c > z+R, \\ \frac{2}{p\sqrt{4R^2 z^2 - (R^2 + z^2 - c^2)}} |z-R| < c < z+R; \end{cases} \quad (30)$$

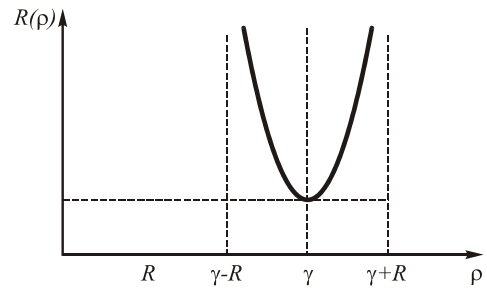


Рис. 3. График КПП-образа узкого кольца (формулы (30))

Из уравнения (30) следует, что при  $\rho = \lambda + R$  и  $\rho = \lambda - R$  КПП-образ стремится к бесконечности  $R(\rho) = +\infty$ , а при  $\rho = \gamma$  КПП-образ имеет минимум

$$R(\gamma) = \frac{2}{\pi R \sqrt{4\gamma^2 - R^2}}. \text{ При } \gamma \gg R \text{ из уравнения (30)}$$

следует, что КПП-образ бесконечно узкого кольца радиусом  $R$  есть два близких кольца с радиусами  $R-\gamma$  и  $R+\gamma$ .

#### 2.6. Преобразование круга

Если исходной функцией является функция, описывающая круг радиуса  $R$ :

$$f(x, y) = \text{circ}l \left( \frac{r}{R} \right), \quad (31)$$

Фурье-образ которой пропорционален функции Эйри:

$$F(c) = 2p \frac{R J_1(Rc)}{c}, \quad (32)$$

то КПП-образ радиальной функции можно вычислить по формуле (11):

$$R(c, u) = \frac{z}{2p} 2p R \int_0^{\infty} \frac{J_1(Rr)}{r} J_0(zr) J_0(rc) r dr. \quad (33)$$

Интеграл (33) вычисляется с помощью справочного интеграла [9]:

$$\int_0^{\infty} J_0(ax)J_0(bx)J_1(cx)xdx = \begin{cases} 0, c < |a-b|, \\ \frac{1}{c}, c > a+b, \\ \frac{1}{pc} \arccos \frac{a^2+b^2-c^2}{2ab}, |a-b| < c < a+b; \end{cases} \quad (34)$$

С учетом (34) КПП-образ (33) имеет вид

$$R(c) = \begin{cases} 0, |c-z| > R, \\ z, R > c+z, \\ \frac{z}{p} \arccos \frac{c^2+z^2-R^2}{2cz}, |c-z| < R < c+z; \end{cases} \quad (35)$$

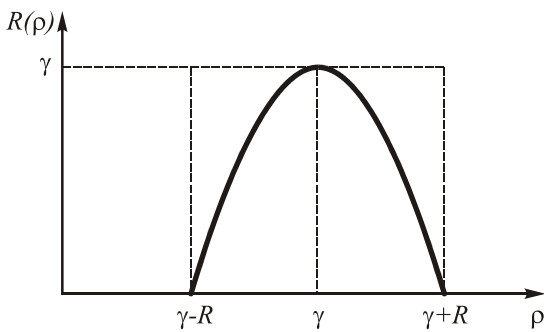


Рис. 4. График КПП-образа круга (формулы (35))

Из уравнения (35) следует, что КПП-образ функции круга есть кольцо с радиусом  $\gamma$  и шириной  $2R$  ( $R < \gamma$ ) (рис. 4). При других соотношениях параметров  $\gamma$  и  $R$  КПП-образ имеет другой вид.

КПП – образ функции широкого кольца можно получить с помощью уравнения (35), примененного к функции

$$f(r) = \text{circl} \frac{r}{R_1} - \text{circl} \frac{r}{R_2}. \quad (36)$$

### 2.7. Преобразование прямоугольника

Пусть исходной функцией является функция прямоугольника со сторонами  $a$  и  $b$ :

$$f(x,y) = \text{rect} \left( \frac{x}{a} \right) \text{rect} \left( \frac{y}{b} \right), \quad (37)$$

Фурье-образ которой пропорционален произведению sinc-функций:

$$F(o,z) = 4ab \cdot \sin c(ao) \cdot \sin c(bz). \quad (38)$$

Тогда КПП-образ функции (37) можно вычислить с помощью уравнения (9):

$$R(x,y) = \frac{z}{2p} 4 \iint_{R^2} \frac{\sin(ao)}{o} \frac{\sin(bz)}{z} \times \quad (39)$$

$$\times J_0(z\sqrt{o^2+z^2}) \exp[i(xo+yz)] d\odot dz$$

Так как

$$4\sin(ao)\sin(bz) = -[\exp(ia\xi) - \exp(-ia\xi)] \cdot [\exp(ib\eta) - \exp(-ib\eta)],$$

то достаточно рассмотреть только одно слагаемое из четырех в уравнении (39):

$$I_1 = -\frac{z}{2p} \iint_{R^2} \frac{J_0(z\sqrt{o^2+z^2})}{oz} \times \exp\{i[o(x+a)+z(y+b)]\} d\odot dz \quad (40)$$

Интеграл (40) нельзя вычислить с помощью аналитических функций, но вторая смешанная производная от интеграла (40) может быть выражена с помощью  $\delta$ -функции:

$$\begin{aligned} \frac{\partial^2 I_1}{\partial x \partial y} &= \frac{z}{2p} \iint_{R^2} J_0(z\sqrt{o^2+z^2}) \exp\{i[o(x+a)+z(y+b)]\} d\odot dz = \\ &= \frac{z}{2p} \iint_{R^2} J_0(zr) \exp[irc \cos(\varphi-u)] r dr d\varphi = \\ &= z \iint_{R^2} J_0(zr) J_0(rc) r dr = \\ &= \delta(z-c) = \delta\left(z - \sqrt{(x+a)^2 + (y+b)^2}\right). \end{aligned} \quad (41)$$

С учетом уравнения (41) и четырех слагаемых в уравнении (39) получим, что

$$\begin{aligned} \frac{\partial^2 R(x,y)}{\partial x \partial y} &= \delta\left(z - \sqrt{(x+a)^2 + (y+b)^2}\right) - \\ &- \delta\left(z - \sqrt{(x+a)^2 + (y-b)^2}\right) - \\ &- \delta\left(z - \sqrt{(x-a)^2 + (y+b)^2}\right) + \\ &+ \delta\left(z - \sqrt{(x-a)^2 + (y-b)^2}\right). \end{aligned} \quad (42)$$

Из уравнения (42) следует, что КПП-образ функции прямоугольника имеет такой вид, что его контурами являются окружности радиуса  $\gamma$  с центрами в точках с координатами  $(-a, -b)$ ,  $(-a, b)$ ,  $(a, -b)$  и  $(a, b)$ .

### 2.8. Преобразование функции Гаусса

Пусть на входе в оптическую систему на рис.1 имеется световое поле, комплексная амплитуда которого описывается функцией Гаусса:

$$f(r) = \exp\left(-\frac{r^2}{u^2}\right), \quad (43)$$

Фурье-образом которой также является гауссовая функция:

$$F(c) = pu^2 \exp\left(-\frac{c^2 u^2}{4}\right). \quad (44)$$

Тогда КПП-образ функции (43), вычисленный с помощью формулы (5), имеет вид:

$$R(c,u) = z \int_0^{2p} f(z \cos \varphi + c \cos u, z \sin \varphi + c \sin u) d\varphi =$$

$$= \int_0^{2p} f(z^2 + c^2 - 2zc \cos \varphi) d\varphi =$$

$$\begin{aligned}
&= z \int_0^{2p} \exp\left(-\frac{z^2}{u^2}\right) \exp\left(-\frac{c^2}{u^2}\right) \exp\left(\frac{2zc}{u^2} \cos \varphi\right) d\varphi = \\
&= z \exp\left(-\frac{z^2 + c^2}{u^2}\right) \int_0^{2p} \exp\left(\frac{2zc}{u^2} \cos \varphi\right) d\varphi = \\
&= z \exp\left(-\frac{z^2 + c^2}{u^2}\right) \int_0^{2p} \exp\left[-i \frac{2(izc)}{u^2} \cos \varphi\right] d\varphi = \\
&= 2pz \exp\left(-\frac{z^2 + c^2}{u^2}\right) J_0\left(\frac{2izc}{u^2}\right) = \\
&= 2pz \exp\left(-\frac{z^2}{u^2}\right) \exp\left(-\frac{c^2}{u^2}\right) I_0\left(\frac{2zc}{u^2}\right), \quad (45)
\end{aligned}$$

где  $I_0(x)$  – модифицированная функция Бесселя.

Из уравнения (45) следует, что КПР сохраняет функцию Гаусса, но умножает ее на модифицированную функцию Бесселя нулевого порядка:

$$I_m(x) = (-i)^m J_m(ix)$$

и на постоянную величину.

### 2.9. Преобразование моды Бесселя $n$ -го порядка

Пусть исходной функцией является функция Бесселя произвольного порядка, умноженная на угловую гармонику:

$$f(x, y) = f(r, \varphi) = J_n(\bar{\sigma}r) \exp(in\varphi). \quad (46)$$

Фурье-образом функции (46) является функция бесконечно узкого кольца:

$$\begin{aligned}
F(\alpha, z) &= \iint_{R^2} J_n(\bar{\sigma}r) \exp(in\varphi) \exp[-irc \cos(\varphi - u)] r dr d\varphi = \\
&= \exp(in\theta) \int_0^\infty J_n(\bar{\sigma}r) \int_0^{2p} \exp[in(\varphi - u)] \exp[-irc \cos(\varphi - u)] d\varphi r dr = \\
&= 2p(-i)^n \exp(in\theta) \int_0^\infty J_n(\bar{\sigma}r) J_n(rc) r dr = \\
2p(-i)^n \exp(in\theta) \frac{\partial(\bar{\sigma} - c)}{\bar{\sigma}} &= F(c, u), \quad (47)
\end{aligned}$$

а КПР-образ можно вычислить с помощью уравнения (10):

$$\begin{aligned}
R(r, \varphi) &= \frac{z}{2p} \iint_{R^2} F(c, u) \cdot J_0(zc) \exp[irc \cos(\varphi - u)] c dc du = \\
&= \frac{z}{\bar{\sigma}} (-i)^n \iint_{R^2} \partial(\bar{\sigma} - c) \cdot J_0(zc) \exp(in\theta) \exp[irc \cos(\varphi - u)] c dc du = \\
&= \frac{z}{\bar{\sigma}} (-i)^n \int_0^\infty \partial(\bar{\sigma} - c) J_0(zc) \exp(in\varphi) \cdot 2pi^n J_n(rc) c dc = \\
&= \frac{2pz}{\bar{\sigma}} J_0(\bar{\sigma}z) J_n(\bar{\sigma}r) \exp(in\varphi). \quad (48)
\end{aligned}$$

При получении выражения (48) было использовано интегральное представление функции Бесселя:

$$J_n(x) = \frac{(-i)^n}{2p} \int_0^{2p} \exp(ix \cos t) \exp(int) dt. \quad (49)$$

Из уравнения (48) следует, что КПР сохраняет функцию Бесселя  $n$ -го порядка, умноженную на

угловую гармонику, домножая ее на константу. Если  $\bar{\sigma}z$  – корень функции Бесселя нулевого порядка  $J_0(\alpha\gamma)=0$ , то функция Бесселя  $n$ -го порядка не пропускается через оптическую систему на рис. 1.

### 3. Численное моделирование

Моделирование кольцевого преобразования Радона осуществлялось с помощью вычисления двух дискретных преобразований Фурье (прямого и обратного) и умножения на функцию Бесселя:

$$F(x', y') = \mathfrak{F}^{-1}[J \cdot \mathfrak{F}[f(x, y)]] \quad (50)$$

$\mathfrak{F}$  и  $\mathfrak{F}^{-1}$  – символ прямого и обратного преобразования Фурье,  $J$  – функция Бесселя. В дискретном варианте преобразование Фурье вычисляется в виде двойной суммы:

$$F_{mn} = \sum_{k=0}^{N-1} \sum_{l=0}^{N-1} f_{kl} \exp\left[-i \frac{2p}{N} (mk + nl)\right], \quad (51)$$

а функцию пропускания выберем в виде:

$$J_{mn} = J_0\left(nz\left(m - \frac{N}{2}\right)^2 + \left(n - \frac{N}{2}\right)^2\right), \quad (52)$$

где  $n$  – разрешение в частотной плоскости.

В таблице 1 приведены исходные изображения на входе Фурье-коррелятора  $|f(x, y)|^2$  (первый и второй столбец): точка, квадрат, круг, а также изображения на выходе Фурье-коррелятора  $|F(x', y')|^2$  (столбцы 3-5) для соответствующих значений параметра  $\gamma$  (радиуса окружности).

Из таблицы 1 видно, что с ростом параметра  $\gamma$  происходят следующие преобразования. Когда  $\gamma$  существенно меньше размеров объекта, объект изменяется незначительно, происходит лишь размытие контура. Когда  $\gamma$  сопоставимо с размером объекта, происходит существенное размытие. Когда же  $\gamma$  становится больше размеров объекта, по центру объекта возникает пустота, а интенсивность появляется по краям объекта.

Очевидно, что КПР-образ в некоторой точке максимален, если на исходном изображении на кольце радиуса  $u$  с центром в этой точке интенсивность также максимальна. Поэтому предположим, что КПР-преобразование можно использовать для обнаружения колец на изображении.

Для примера рассмотрим изображение с цифрами (рис. 5).

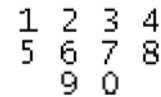


Рис. 5. Арабские цифры

Цифры состоят из отрезков прямых линий и дуг окружностей. Окружности могут быть разных диаметров. В цифрах встречаются дуги окружностей с диаметром, равным приблизительно половине высоты всей цифры (такие дуги характерны для цифр «2», «3», «5», «6», «8», «9» и «0», рис. 6a) и с диаметром, равным приблизительно высоте всей цифры (такие дуги характерны для цифр «3», «6», «8», «9» и «0», рис. 6b).

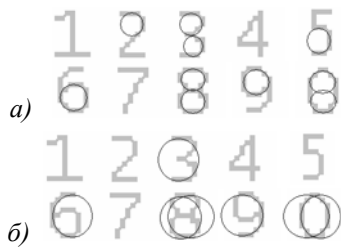


Рис. 6. Приближение арабских цифр дугами окружностей:

- а) дуги окружностей с диаметром, равным приблизительно половине высоты всей цифры,  
 б) дуги окружностей с диаметром, равным приблизительно высоте всей цифры

При проведении эксперимента изображение с цифрами (рис. 5) подавалось на вход КПП-преобразования, однако наибольший контраст наблюдались при нескольких значениях параметра  $\gamma$  (рис. 7).

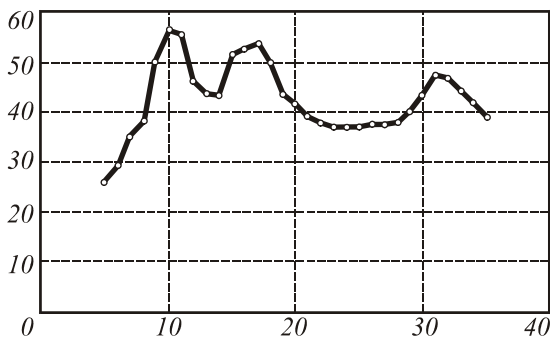


Рис. 7. Зависимость контраста от параметра  $\gamma$  для изображения цифр

КПП-образы при  $\gamma$ , соответствующих максимальному контрасту, показаны на рис. 8.

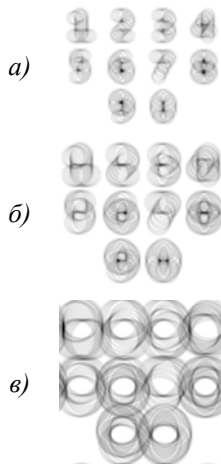


Рис. 8. КПП-образы изображения цифр при значениях параметра  $\gamma$ , для которых контраст максимален:

- а) КПП-образ изображения цифр при  $\gamma = 10$  ;  
 б) КПП-образ изображения цифр при  $\gamma = 17$  ;  
 в) КПП-образ изображения цифр при  $\gamma = 31$

На них видно, что при  $\gamma = 10$  наибольшую интенсивность на КПП-образе имеют отсчеты, соответ-

ствующие центрам окружностей с диаметром, равным приблизительно половине высоты всей цифры. При  $\gamma = 17$ , наибольшую интенсивность на КПП-образе имеют отсчеты, соответствующие центрам окружностей с диаметром, равным приблизительно высоте всей цифры. При  $\gamma = 31$  КПП-преобразование дало размытие всех цифр, не позволяющее выделить центры окружностей, из дуг которых эти цифры состоят.

На реальном изображении также происходит размытие контуров (рис. 9).

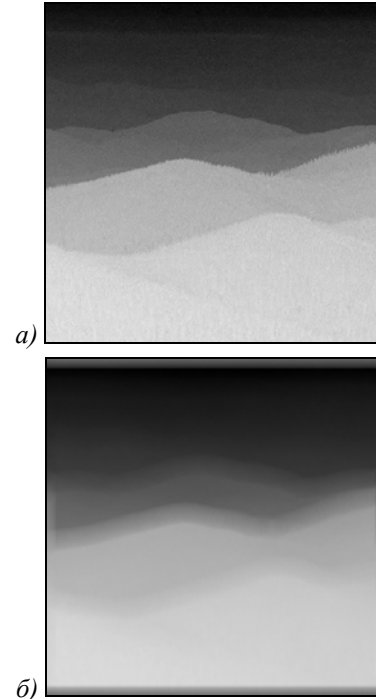


Рис. 9. Результат КПП-преобразования на реальном изображении при  $\gamma = 10$  :

- а) входное изображение;  
 б) выходное изображение

### Заключение

- В работе получены следующие результаты.
- Введено в рассмотрение некоторое обобщение двумерного интегрального преобразования Радона, названное кольцевым преобразованием Радона (КПП), которое отличается от обычного преобразования Радона тем, что свертывает функцию не с прямой линией, а с окружностью.
  - Получены основные свойства линейного интегрального КПП: связь с преобразованием Фурье; обратное кольцевое преобразование Радона; смещение КПП-образа при смещении функции; масштабирование КПП-образа при масштабировании функции.
  - Вычислены КПП-образы от некоторых функций: точки, круга, кольца, синусоиды, прямоугольника, Гаусса, Бесселя  $n$ -го порядка.

С помощью численного моделирования показана возможность использования Фурье-коррелятора, моделирующего КПП, для обнаружения дуг окружностей на изображении, например, частей цифр или букв.

Таблица 1. Результаты прохождения изображений некоторых геометрических объектов через Фурье-коррелятор, моделирующий КПП, при различных параметрах  $\gamma$

Входное изображение	Выходное изображение		
	$\gamma = 10$	$\gamma = 30$	$\gamma = 50$
Точка			
Квадрат (120x120)			
Круг ( $R=60$ px)			

#### Благодарности

Работа выполнена при поддержке гранта Президента РФ № НШ-1007.2003.01, а также российско-американской программы «Фундаментальные исследования и высшее образование» («BRHE»).

#### Литература

1. Helgason S. The Radon Transform // Boston, MA: Birkhauser, 1980.
2. Deans S.R. The Radon Transform and some of its Application // New York, Willey, 1982.
3. Anger B., Portenier C. Radon Integrals // Boston, MA: Birkhauser, 1992.
4. Rann A.G., Katsevich A.I. The Radon Transform and Local Tomography // Boca Raton, CRC Press, 1996.
5. Ambs P., Lee S.H., Tain Q., Fainmann Y. Optical implementation of the Hough transform by a matrix of holograms // Appl. Opt., 1986. V. 25, N. 22. P. 4035-4045.
6. Woodford P., Casasent D. High accuracy and fast new format optical Hough-transform // Opt. Mem. and Neur. Net., 1997. V. 1. P. 1-16.
7. Сойфер В.А., Котляр В.В., Скиданов Р.В. Оптическое выполнение преобразования Хоу-Радона // Компьютерная оптика, 1997. Вып. 17. С. 143-144.
8. Soroko L.M. Mesooptics. Foundations and Applications, World Scientific, Singapore, 1996.
9. Прудников А.П., Брычков Ю.А., Маричев О.И. Интегралы и ряды. Специальные функции // М.: Наука, 1983.